

УДК 537.311.322 : 538.61

УШИРЕНИЕ ЭКСИТОННЫХ ЛИНИЙ В ПОЛУМАГНИТНОМ ПОЛУПРОВОДНИКЕ

M. Э. Райх, Ал. Л. Эфрос

Показано, что уширение экситонных линий в полумагнитном полупроводнике определяется уходом рожденного светом экситона в состояния с большими квазимпульсами при рассеянии на флуктуациях состава. Получены выражения для ширин экситонных линий. Проводится сравнение с экспериментальными результатами.

Полумагнитные полупроводники (ПМП) представляют собой твердые растворы, в которых одна из компонент замещения обладает нескомпенсированным магнитным моментом. В магнитном поле эти моменты выстраиваются параллельно, и их обменное взаимодействие со спинами электронов и дырок приводит к расщеплению валентной зоны и зоны проводимости на отдельные спиновые подзоны. Важно, что величина расщепления оказывается значительной (порядка 10 мэВ) уже в достаточно слабом магнитном поле, таком, что его влияние на орбитальное движение носителей пренебрежимо мало (эффект гигантского спинового расщепления). При этом вместо одной экситонной линии в обычном кубическом полупроводнике в спектрах экситонного отражения полумагнитных полупроводников в условиях гигантского спинового расщепления наблюдается шесть различных линий (по две в каждой из трех поляризаций возбуждающего света) [1].

Случайный характер расположения атомов замещения приводит к тому, что в твердом растворе имеется случайный потенциал, действующий на электрон и на дырку и приводящий к уширению экситонной линии. Соответственно в ПМП уширяются все шесть линий, поэтому исследование этого уширения в зависимости от магнитного поля и от состава дает в случае ПМП дополнительную по сравнению с обычными твердыми растворами информацию о роли флуктуационных эффектов.

Экспериментально уширение экситонных линий в ПМП исследовалось в [2]. В этой работе изучались спектры экситонного отражения кристаллов $Cd_{1-x}Mn_xTe$ с составом $0.002 \leq x \leq 0.05$ в магнитных полях до 19 кэ при температуре $T=1.9$ К. Ширина каждой экситонной линии определялась как расстояние между максимумом и минимумом на экспериментальной кривой. Полученные результаты сравнивались с теоретическим расчетом, проведенным в [3]. Для ширины линии экситонного поглощения в твердом растворе с составом x в [3] было найдено выражение

$$\Gamma_0 = 0.08 \frac{x^2 (1-x)^2 \alpha_g^4 M^3}{\hbar^6 N^2}, \quad (1)$$

где M — трансляционная масса экситона, $\alpha_g = dE_g/dx$ — скорость изменения ширины запрещенной зоны E_g с составом, N — концентрация узлов подрешетки, в которой располагаются атомы замещения. Сравнение экспериментальных значений ширины $\Gamma_{\text{эксп}}$ со значениями Γ_0 , рассчитанными по формуле (1), показало, что, во-первых, $\Gamma_{\text{эксп}}$ значительно превышает Γ_0 ,

а, во-вторых, зависимость $\Gamma_{\text{эксп}}$ от состава является гораздо более слабой, чем зависимость (1).

На наш взгляд, причина подобного расхождения состоит в том, что формула (1) не применима к ПМП типа $\text{Cd}_{1-x}\text{Mn}_x\text{Te}$, поскольку при ее выводе не учитывался эффект гигантского спинового расщепления экзитонного спектра, возникающего в ПМП в слабом магнитном поле. Как показано в настоящей работе, этот эффект приводит к тому, что ширина экзитонной линии определяется отличным от рассмотренного в [3] механизмом. Для его объяснения проанализируем сначала причину малости величины Γ_0 при малых x .

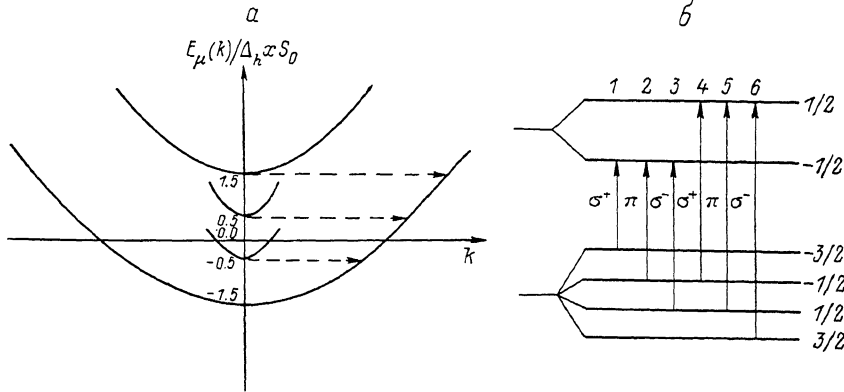


Рис. 1.

а — закон дисперсии экзитона в полумагнитном полупроводнике для импульсов, параллельных направлению магнитного поля. Стрелками показаны разрешенные законом сохранения энергии процессы ухода. б — схема расположения спиновых подзон в полумагнитном полупроводнике и оптических переходов, разрешенных в различных поляризациях света. Использованная нумерация линий соответствует принятой в работе [2].

С точностью до численного коэффициента выражение (1) может быть получено на основании следующих соображений. Для экзитона с волновым вектором трансляционного движения k время релаксации импульса, обусловленное рассеянием на флуктуациях состава, есть

$$\frac{1}{\tau} = \frac{2\pi}{\hbar} \langle |V_{k,k}|^2 \rangle \rho_0(\varepsilon_k), \quad (2)$$

где $\varepsilon_k = \hbar^2 k^2 / 2M$, $\rho_0(\varepsilon_k) = (2M)^{3/2} \varepsilon_k^{1/2} / 2\pi^2 \hbar^3$ — плотность состояний; $V_{k,k}$ — матричный элемент случайного потенциала $V(r) = \alpha_s \xi(r)/N$, создаваемого отклонениями $\xi(r)$ концентрации атомов замещения от среднего значения. Функция $\xi(r)$ удовлетворяет корреляционному соотношению

$$\langle \xi(r) \xi(r') \rangle = N x (1 - x) \delta(r - r'), \quad (3)$$

где символ $\langle \dots \rangle$ означает конфигурационное усреднение. Уширение экзитонной линии можно оценить, полагая в (2) $\hbar/\tau \sim \varepsilon$; при этом соотношение (2) превращается в уравнение для определения ε , решение которого есть $\varepsilon \sim \Gamma_0$. Из приведенных оценок видно, что малость уширения при малых x : $\Gamma_0 \sim x^2$ обусловлена как малостью квадрата модуля матричного элемента $\langle |V_{k,k}|^2 \rangle \sim x$, так и малостью плотности состояний $\rho_0(\varepsilon) \sim x$ при $\varepsilon \sim \Gamma_0$. Однако, если в законе дисперсии экзитона состояние с $k=0$ не соответствует минимуму энергии, плотность состояний при энергиях $\varepsilon(k)$ с $k \rightarrow 0$ может быть не мала. В этом случае имеется возможность ухода экзитона, рожденного светом в состоянии с $k=0$, в состояния с большими квазимпульсами при упругом рассеянии на флуктуациях состава. Именно такая ситуация реализуется в ПМП в условиях гигантского спинового расщепления. На рис. 1, а схематически представлен закон дисперсии экзитона в ПМП для квазимпульсов, направленных вдоль магнитного поля. Видно, что для всех спиновых ветвей, кроме нижней, закон сохранения энергии допускает уход в состояния с большими квазимпульсами.

Ширина линии, определяемая этим процессом, будет при малых x гораздо больше рассчитанной по формуле (1) вследствие большой плотности конечных состояний. В этом и состоит специфический для ПМП механизм уширения. Определяемая им форма линии поглощения $K(\omega)$ является лоренцевой

$$K(\omega) = \frac{\gamma}{2\pi \left[\hbar^2 (\omega - \omega_0)^2 + \frac{\gamma^2}{4} \right]}, \quad (4)$$

где $\hbar\omega_0$ — энергия кванта, соответствующая центру экситонной линии. Для нахождения величины γ необходимо рассчитать закон дисперсии и волновые функции экситона в начальном и конечном состояниях. Такой расчет проведен в следующем разделе. Вычисление ширин экситонных линий и сравнение с экспериментом проведено в разделе 2.

1. Закон дисперсии и волновые функции экситона

Гамильтониан, описывающий движение электрона и дырки в полумагнитном полупроводнике, имеет вид

$$\hat{H} = \hat{H}_L(\hat{p}_h) + \frac{\hat{p}_e^2}{2m_e} - \frac{e^2}{\pi |\mathbf{r}_e - \mathbf{r}_h|} + \Delta_e(\hat{S}_e S(r_e)) + \\ + \Delta_h(\hat{J} S(r_h)) + \frac{\alpha_e}{N} \xi(r_e) + \frac{\alpha_h}{N} \xi(r_h), \quad (5)$$

где \hat{p}_e и \hat{p}_h — операторы импульса электрона и дырки; π — диэлектрическая проницаемость; $\alpha_e = dE_e/dx$, $\alpha_h = dE_h/dx$ — скорости изменения положения краев зоны проводимости и валентной зоны с составом x ; Δ_e , Δ_h — константы обменного взаимодействия электрона и дырки с магнитным ионом; \hat{s}_e — оператор спина электрона; \hat{J} — оператор спинового момента дырки со значением $3/2$ [4]; \hat{H}_L — гамильтониан Латтинжера;

$$\hat{H}_L(\hat{p}) = \frac{1}{4m_h} \left((\hat{p}\hat{J})^2 - \frac{1}{4} \hat{p}^2 \right) + \frac{1}{4m_l} \left(\frac{9}{4} \hat{p}^2 - (\hat{p}\hat{J})^2 \right), \quad (6)$$

m_h , m_l — массы тяжелой и легкой дырок. Функция $S(r)$ в (5) определяется следующим образом

$$S(r) = v \sum_i S_i \delta(r - r_i), \quad (7)$$

где v — объем элементарной ячейки, S_i — спин магнитного иона, расположенного в точке r_i . Его среднее значение в магнитном поле H ($H \parallel z$) обозначим через S_0

$$\langle S_i \rangle = z_0 S B \left(\frac{g \mu_B H S}{T} \right) = z_0 S_0, \quad (8)$$

где z_0 — орт оси z ; S и g — абсолютная величина спина и g — фактор магнитного иона; μ_B — магнетон Бора; T — температура; $B(x) = \text{cth } x - 1/x$ — функция Бриллюэна.

Разобьем гамильтониан (5) на два слагаемых $\hat{H} = \hat{H}_0 + \hat{W}$, где

$$\hat{H}_0 = \hat{H}_L(\hat{p}_h) + \frac{\hat{p}_e^2}{2m_e} - \frac{e^2}{\pi |\mathbf{r}_e - \mathbf{r}_h|} + \Delta_e x S_0 \hat{s}_e + \Delta_h x S_0 \hat{J}_z \quad (9)$$

— невозмущенный гамильтониан, а

$$\hat{W} = \frac{\alpha_e}{N} \xi(r_e) + \frac{\alpha_h}{N} \xi(r_h) + \Delta_e (S(r_e) - z_0 x S_0) \hat{s}_e + \Delta_h (S(r_h) - z_0 x S_0) \hat{J}_z \quad (10)$$

— оператор взаимодействия с флуктуациями состава. Кроме обычных для твердого раствора первых двух слагаемых он содержит два слагаемых, обусловленных флуктуациями спиновой плотности примесных ионов.

Первые три слагаемых в гамильтониане \hat{H}_0 описывают экситон в полупроводнике с вырожденной валентной зоной в нулевом магнитном поле. Для такого экситона разделить относительное движение электрона и дырки и трансляционное движение экситона как целого в общем случае невозможно. Нас, однако, будут интересовать волновые функции и закон дисперсии экситона лишь при нулевом ($k=0$) и при больших ($k \geq 1/a_B$, $a_B = \hbar^2 \alpha / m_e e^2$ — боровский радиус электрона) квазимпульсах трансляционного движения. Как показано в Приложении, при выполнении условия $m_e \ll m_h$ волновые функции при $k=0$ имеют вид

$$\Psi_{\mu, \sigma}^{(0)} = \varphi_0(r_e - r_h) \chi_{\sigma, \mu} |\sigma\rangle, \quad (11)$$

где функция $\varphi_0(r_e - r_h)$ описывает относительное движение электрона и дырки; $\chi_{\sigma, \mu}$ — собственная функция оператора $\hat{J}_z : \hat{J}_z \chi_{\sigma, \mu} = \mu \chi_{\sigma, \mu}$ ($\mu = \pm 1/2, \pm 3/2$), а $|\sigma\rangle$ — собственная функция оператора \hat{s}_e^z ($\sigma = \pm 1/2$). Уровни энергии четырехкратно вырождены по индексу μ и двукратно по спину электрона σ . В магнитном поле обменное взаимодействие, описываемое двумя последними слагаемыми в гамильтониане (9), приводит к полному снятию вырождения. Энергии уровней, отсчитанные от их общего положения при $H=0$, определяются выражением

$$E_{\mu, \sigma}(0) = (\mu \Delta_h + \sigma \Delta_e) x S_0. \quad (12)$$

При больших квазимпульсах удается отделить внутреннее движение экситона от его движения, как целого (см. Приложение). В этом случае волновые функции имеют вид

$$\Psi_{\mathbf{k}, \sigma}^{(f)}(r_e, r_h) = F_{\mathbf{k}}(r_h) \varphi_f(r_e - r_h) |\sigma\rangle, \quad (13)$$

где $\varphi_f(r) = (\pi a_B^3)^{-1/2} \exp(-r/a_B)$ — водородоподобная функция основного состояния, а четырехкомпонентная функция $F_{\mathbf{k}}(\mathbf{r})$ удовлетворяет уравнению

$$(\hat{H}_L(\mathbf{k}) + \Delta_h x S_0 \hat{J}_z) F_{\mathbf{k}}(\mathbf{r}) = \epsilon_{\mathbf{k}} F_{\mathbf{k}}(\mathbf{r}). \quad (14)$$

В нулевом магнитном поле, т. е. при $\Delta_h = 0$, решениями уравнения (14) являются функции $\chi_{\mu}(\mathbf{k}) \exp(i\mathbf{k}\mathbf{r})$, где $\chi_{\mu}(\mathbf{k})$ — собственные функции оператора $(\hat{\mathbf{J}}\mathbf{k})/k$ — проекции спинового момента 3/2. Значения $\mu = \pm 1/2$ соответствуют ветви легких дырок со спектром $\epsilon_l = \hbar^2 k^2 / 2m_l$, а $\mu = \pm 3/2$ — ветви тяжелых дырок со спектром $\epsilon_h = \hbar^2 k^2 / 2m_h$. При $\Delta_h \neq 0$ решение уравнения (14) следует искать в виде линейной комбинации всех четырех функций $\chi_{\mu}(\mathbf{k})$. Как следует из введения, интересующие нас состояния, в которые переходит экситон при рассеянии, обладают энергией порядка $\Delta_h x$ и квазимпульсами порядка $(m_h \Delta_h x)^{1/2}/\hbar$. Энергия легких дырок при таких квазимпульсах порядка $\Delta_h x m_h / m_l \gg \Delta_h x$ (рис. 1, a), так что их вклад в линейную комбинацию оказывается порядка $m_l / m_h \ll 1$. Пренебрегая этим вкладом, представим $F_{\mathbf{k}}(\mathbf{r})$ в виде

$$F_{\mathbf{k}}(\mathbf{r}) = e^{i\mathbf{k}\mathbf{r}} (A(\mathbf{k}) \chi_{+1/2}^{(1)}(\mathbf{k}) + B(\mathbf{k}) \chi_{-1/2}^{(1)}(\mathbf{k})). \quad (15)$$

Подставляя (15) в (14) и домножая обе части на $\chi_{+1/2}^{*(1)}(\mathbf{k})$ и $\chi_{-1/2}^{*(1)}(\mathbf{k})$, получим уравнения для коэффициентов $A(\mathbf{k})$ и $B(\mathbf{k})$

$$A(\mathbf{k}) \left(\frac{\hbar^2 k^2}{2m_h} - \epsilon_{\mathbf{k}} + \Delta_h x S_0 f_{\mathbf{k}} \right) = -\Delta_h x S_0 h_{\mathbf{k}} B(\mathbf{k}), \quad (16)$$

$$B(\mathbf{k}) \left(\frac{\hbar^2 k^2}{2m_h} - \epsilon_{\mathbf{k}} - \Delta_h x S_0 f_{\mathbf{k}} \right) = -\Delta_h x S_0 h_{\mathbf{k}}^* B(\mathbf{k}), \quad (17)$$

где введены обозначения

$$f_{\mathbf{k}} = (\chi_{+1/2}^{*(1)}(\mathbf{k}) \hat{J}_z \chi_{+1/2}^{(1)}(\mathbf{k})) = -(\chi_{-1/2}^{*(1)}(\mathbf{k}) \hat{J}_z \chi_{-1/2}^{(1)}(\mathbf{k})), \quad (18)$$

$$h_{\mathbf{k}} = (\chi_{+1/2}^{*(1)}(\mathbf{k}) \hat{J}_z \chi_{-1/2}^{(1)}(\mathbf{k})). \quad (19)$$

Используя явный вид функций $\chi_{s_1}(k)$ и $\chi_{-s_1}(k)$

$$\begin{aligned}\chi_{s_1}(k) &= \frac{1}{2} (1 + 3 \cos^2 \theta)^{-1/2} \begin{pmatrix} 1 + 3 \cos^2 \theta \\ \sqrt{3} e^{i\varphi} \sin 2\theta \\ \sqrt{3} e^{2i\varphi} \sin^2 \theta \\ 0 \end{pmatrix}; \\ \chi_{-s_1}(k) &= \frac{1}{2} (1 + 3 \cos^2 \theta)^{-1/2} \begin{pmatrix} 0 \\ \sqrt{3} e^{-2i\varphi} \sin^2 \theta \\ -\sqrt{3} e^{-i\varphi} \sin 2\theta \\ 1 + 3 \cos^2 \theta \end{pmatrix},\end{aligned}\quad (20)$$

где φ и θ — азимутальный и полярный углы вектора k , для величин f_k и h_k находим

$$f_k = \frac{3 \cos^2 \theta (3 + \cos^2 \theta)}{2 (1 + 3 \cos^2 \theta)}, \quad (21)$$

$$h_k = \frac{3 \sin^2 \theta \cos \theta}{2 (1 + 3 \cos^2 \theta)} e^{-3i\varphi}. \quad (22)$$

Решая систему уравнений (16), (17), получим закон дисперсии для двух нижних ветвей экситонного спектра

$$\varepsilon_{\bar{k}}^{\pm} = \frac{\hbar^2 k^2}{2m_h} \pm \Delta_h x S_0 \sqrt{f_k^2 + |h_k|^2} = \frac{\hbar^2 k^2}{2m_h} \pm \Delta_h x S_0 |\cos \theta|. \quad (23)$$

Соответствующие волновые функции имеют вид

$$F_{\bar{k}}^+(r) = \frac{e^{i\bar{k}r}}{2\sqrt{2}} \begin{pmatrix} (1 + |\cos \theta|)^{3/2} \\ \sqrt{3} e^{i\varphi} \frac{|\cos \theta|}{\cos \theta} (1 - |\cos \theta|)^{1/2} (1 + |\cos \theta|) \\ \sqrt{3} e^{2i\varphi} (1 + |\cos \theta|)^{1/2} (1 - |\cos \theta|) \\ e^{3i\varphi} \frac{|\cos \theta|}{\cos \theta} (1 - |\cos \theta|)^{3/2} \end{pmatrix}, \quad (24)$$

$$F_{\bar{k}}^-(r) = \frac{e^{i\bar{k}r}}{2\sqrt{2}} \begin{pmatrix} (1 - |\cos \theta|)^{3/2} \\ -\sqrt{3} e^{i\varphi} \frac{|\cos \theta|}{\cos \theta} (1 + |\cos \theta|)^{1/2} (1 - |\cos \theta|) \\ \sqrt{3} e^{2i\varphi} (1 - |\cos \theta|)^{1/2} (1 + |\cos \theta|) \\ -e^{3i\varphi} \frac{|\cos \theta|}{\cos \theta} (1 + |\cos \theta|)^{3/2} \end{pmatrix}. \quad (25)$$

Окончательное выражение для закона дисперсии экситона при больших квазимпульсах запишем, учитывая снятие спинового вырождения электрона в магнитном поле

$$E_{\bar{k}, \sigma}^{\pm} = \varepsilon_{\bar{k}}^{\pm} + \sigma \Delta_e x S_0. \quad (26)$$

В выражения для вероятностей перехода экситона входят усредненные по азимутальному углу φ произведения компонент $F_{\bar{k}, \mu}^*$ и $F_{\bar{k}, \nu}$ волновых функций $F_{\bar{k}}(r)$ и $F_{\bar{k}}(r)$. Используя формулы (24) и (25), находим

$$\frac{1}{2\pi} \int_0^{2\pi} d\varphi (F_{\bar{k}, \mu}^*)^* F_{\bar{k}, \nu}^* = \delta_{\mu, \nu} P_{\mu}^{\pm}(\theta), \quad (27)$$

$$P_{\mu}^{\pm}(\theta) = \frac{3}{16 |\mu|} (1 \pm |\cos \theta|)^{\frac{3}{2} + \mu} (1 \mp |\cos \theta|)^{\frac{3}{2} - \mu}. \quad (28)$$

2. Вероятности переходов и ширины экситонных линий

Как уже указывалось во введении, уширение экситонных линий в ПМП в магнитном поле определяется уходом экситона при рассеянии на флукутациях состава из состояния с $k=0$ в состояния с большими квазимпульсами. Вероятность такого процесса определяется выражением

$$\gamma_{\mu \rightarrow \pm}^{\sigma \rightarrow \sigma'} = 2\pi \sum_{\mathbf{k}} \ll |W_{\mu, \sigma}^{\pm, \sigma'}|^2 \gg \delta(E_{\mathbf{k}, \sigma'}^{\pm} - E_{\mu, \sigma}^{(0)}), \quad (29)$$

где индексы μ, σ соответствуют начальному состоянию. Конечные состояния характеризуются знаками $+$, σ' и $-$, σ' . Энергии начального и конечного состояний определяются выражениями (12), (26); $\hat{W}_{\mu, \sigma}^{\pm, \sigma'}$ — матричный элемент оператора возмущения (10). Символ $\ll \dots \gg$ означает усреднение как по всем конфигурациям магнитных ионов, так и по направлениям их спинов. При вычислении величины $\ll |W_{\mu, \sigma}^{\pm, \sigma'}|^2 \gg$ следует использовать корреляционное соотношение (3), а также соотношения

$$\langle S_x S_x \rangle = \langle S_z S_y \rangle = \langle S_x S_y \rangle = 0. \quad (30)$$

При этом получаем

$$\begin{aligned} \ll W_{\mu, \sigma}^{\pm, \sigma'} |^2 \gg &= \frac{x(1-x)}{N\Omega} |\alpha_e I_e + \alpha_h I_h + \Delta_e S_0 Q_e^z + \Delta_h S_0 Q_h^z|^2 + \frac{x\Delta_e^2}{N\Omega} (\langle S_x^2 \rangle |Q_e^x|^2 + \\ &+ \langle S_y^2 \rangle |Q_e^y|^2 + (\langle S_z^2 \rangle - S_0^2) |Q_e^z|^2) + \frac{x\Delta_h^2}{N\Omega} (\langle S_x^2 \rangle |Q_h^x|^2 + \langle S_y^2 \rangle |Q_h^y|^2 + \\ &+ (\langle S_z^2 \rangle - S_0^2) |Q_h^z|^2), \end{aligned} \quad (31)$$

где Ω — нормировочный объем; $\langle S_x^2 \rangle$, $\langle S_y^2 \rangle$, $\langle S_z^2 \rangle$ — средние квадраты проекций спина магнитного иона

$$\langle S_x^2 \rangle = \langle S_y^2 \rangle = \frac{S^2 - \langle S_z^2 \rangle}{2}, \quad (32)$$

$$\langle S_z^2 \rangle = S^2 \left(1 - \frac{2T}{g\mu_B HS} B \left(\frac{g\mu_B HS}{T} \right) \right). \quad (33)$$

Кроме того, в (31) введены следующие обозначения

$$\left. \begin{aligned} I_e &= \int d^3 r_h e^{-i\mathbf{k}\mathbf{r}_h} \Psi_{\pm, \mathbf{k}, \sigma'}^{(f)*}(\mathbf{r}_h) \Psi_{\mu, \sigma}^{(0)}(\mathbf{r}_h), \quad I_h = \int d^3 r_h \Psi_{\pm, \mathbf{k}, \sigma'}^{(f)*}(\mathbf{r}_h) \Psi_{\mu, \sigma}^{(0)}(\mathbf{r}_h), \\ Q_e^j &= \int d^3 r_h e^{-i\mathbf{k}\mathbf{r}_h} \Psi_{\pm, \mathbf{k}, \sigma'}^{(f)*}(\mathbf{r}_h) \hat{S}_e^j \Psi_{\mu, \sigma}^{(0)}(\mathbf{r}_h), \quad Q_h^j = \int d^3 r_h \Psi_{\pm, \mathbf{k}, \sigma'}^{(f)*}(\mathbf{r}_h) \hat{S}_j \Psi_{\mu, \sigma}^{(0)}(\mathbf{r}_h), \end{aligned} \right\} \quad (34)$$

где индекс j пробегает значения x, y, z . В интегралах (34) входят волновые функции начального и конечного состояний, определяемые выражениями (11), (13), в которых следует положить $r_e = 0$. При нахождении закона дисперсии и волновых функций конечных состояний мы предполагали, что соответствующие им квазимпульсы $k \gg 1/a_B$. Это условие позволяет пренебречь интегралами I_e, Q_e по сравнению с интегралами I_h, Q_h . Действительно, оценка этих интегралов дает: $Q_e/Q_h \sim \sim I_e/I_h \sim (ka_B)^{-4} \ll 1$. Отметим, что, отбрасывая интегралы Q_e , мы пренебрегаем переходами с изменением спина электрона.

Суммирование по конечным состояниям в формуле (29) для вероятности перехода удобно производить в два этапа. На первом этапе осуществляется усреднение по азимутальному углу ϕ квазимпульса \mathbf{k} . В (29) от этого угла зависит лишь квадрат модуля матричного элемента. Используя соотношение (27), получаем

$$\begin{aligned} \frac{1}{2\pi} \int_0^{2\pi} d\phi \ll |W_{\mu, \sigma}^{\pm, \sigma'}|^2 \gg &= \frac{x}{N\Omega} \left\{ P_{\mu}^{\pm}(\theta) [(1-x)(\alpha_h + \mu\Delta_h S_0)^2 + (\langle S_z^2 \rangle - S_0^2)\mu^2\Delta_h^2] + \right. \\ &\left. + \frac{\Delta_h^2}{4} (S^2 - \langle S_z^2 \rangle) [(3 + \delta_{\mu, -1/2}) P_{\mu+1}^{\pm}(\theta) + (3 + \delta_{\mu, 1/2}) P_{\mu-1}^{\pm}(\theta)] \right\}, \end{aligned} \quad (35)$$

где величины $P_{\mu}^{\pm}(\theta)$ определяются формулой (28). При выводе (35) использовались следующие свойства операторов проекций спинового момента [4]

$$(\hat{J}_x \pm i\hat{J}_y) \chi_{z, \mu} = \pm i (3 + \delta_{\mu, \mp 1/2})^{1/2} \chi_{z, \mu \pm 1}. \quad (36)$$

Кроме того, волновые функции $\varphi_f(r)$ и $\varphi_0(r)$ внутреннего движения экситона в начальном и конечном состояниях предполагались одинаковыми. Это справедливо, если масса электрона $m_e \leq m_l$ — массы легкой дырки.

На втором этапе производится усреднение по полярному углу θ квазимпульса k (интегрирование по модулю k осуществляется с помощью δ -функции). В результате для вероятности перехода (29) получаем следующее выражение

$$\begin{aligned} i_{\mu \rightarrow \pm} = & \frac{\Gamma_M}{\hbar} \left\{ [(1-x)(1+\mu S_0)^2 + \mu^2 \beta^2 (\langle S_z^2 \rangle - S_0^2)] \frac{G_{\mu}^{\pm}}{|\mu|} + \right. \\ & \left. + \frac{\beta^2 (S^2 - \langle S_z^2 \rangle)}{4} \left[\frac{K_{\mu}^{\pm}(3 + \delta_{\mu, -1/2})}{|\mu+1|} + \frac{L_{\mu}^{\pm}(3 + \delta_{\mu, 1/2})}{|\mu-1|} \right] \right\}, \end{aligned} \quad (37)$$

где $\beta = \Delta_h/\alpha_h$,

$$\Gamma_M = \frac{3^{3/2} \alpha_h^2 x^{3/2} m_h^{3/2} \Delta_h^{1/2} S_0^{1/2}}{16\pi N \hbar^3}, \quad (38)$$

а величины G_{μ}^{\pm} , K_{μ}^{\pm} и L_{μ}^{\pm} определяются следующим образом

$$\left. \begin{aligned} G_{\mu}^{\pm} &= \int_0^1 dz (1 \pm z)^{1/2 \pm \mu} (1 \mp z)^{1/2 \mp \mu} \sqrt{\frac{2}{3} \mu \mp z}, \\ K_{\mu}^{\pm} &= \int_0^1 dz (1 \pm z)^{1/2 \pm \mu} (1 \mp z)^{1/2 \mp \mu} \sqrt{\frac{2}{3} \mu \mp z}, \\ L_{\mu}^{\pm} &= \int_0^1 dz (1 \pm z)^{1/2 \pm \mu} (1 \mp z)^{1/2 \mp \mu} \sqrt{\frac{2}{3} \mu \mp z}. \end{aligned} \right\} \quad (39)$$

В ряде случаев подкоренное выражение в интегралах (39) оказывается отрицательным либо на нижнем, либо на верхнем пределе. В этих случаях пределы интегрирования следует выбирать из условия неотрицательности подкоренного выражения.

Формула (37) описывает вклад в ширину экситонной линии, связанный с уходом экситона в одну из двух ветвей закона дисперсии с большими квазимпульсами. Для вычисления полной ширины линии следует просуммировать вклады от всех переходов, разрешенных законом сохранения энергии. При этом в окончательные выражения для ширин входят следующие комбинации интегралов (39)

$$\left. \begin{aligned} G_{-1/2}^- &= \frac{25}{7} \left(\frac{2}{3} \right)^{1/2}, \quad 2K_{-1/2}^- + \frac{1}{2} L_{-1/2}^- = \frac{425}{63} \left(\frac{2}{3} \right)^{3/2}, \\ G_{1/2}^- + G_{1/2}^+ &= \frac{2^{12}}{7 \cdot 3^{13/2}}, \quad \frac{1}{2} (K_{1/2}^+ + K_{1/2}^-) + 2(L_{1/2}^+ + L_{1/2}^-) = \frac{17 \cdot 2^{10}}{7 \cdot 3^{13/2}}, \\ G_{3/2}^+ + G_{3/2}^- &= \frac{2^{19/2}}{35 \cdot 9}, \quad L_{3/2}^+ + L_{3/2}^- = \frac{2^{17/2}}{35 \cdot 9}. \end{aligned} \right\} \quad (40)$$

Выпишем выражения для ширин экситонных линий отдельно для каждой поляризации света (мы используем нумерацию линий, принятую в [2]; схема соответствующих переходов представлена на рис. 1, б). Поляризация σ^+

$$G_1 = 0,$$

$$\Gamma_3 = \Gamma_{1/2 \rightarrow 1/2} = \Gamma_M \left\{ 0.26 \left[2(1-x) \left(1 - \frac{\beta S_0}{2} \right)^2 + \frac{\beta^2}{2} (\langle S_z^2 \rangle - S_0^2) \right] + \right.$$

$$+ 1.095^2 (S^2 - \langle S_z^2 \rangle) \Big\}. \quad (41)$$

Поляризация σ^-

$$\left. \begin{aligned} \Gamma_4 &= \gamma_{1/2 \rightarrow +}^{-1/2} + \gamma_{1/2 \rightarrow -}^{-1/2} = \Gamma_M \left\{ 0.46 \left[2(1-x) \left(1 + \frac{3S_0}{2} \right)^2 + \right. \right. \\ &\quad \left. \left. + \frac{3^2}{2} (\langle S_z^2 \rangle - S_0^2) \right] + 1.975^2 (S^2 - \langle S_z^2 \rangle) \right\}, \\ \Gamma_6 &= \gamma_{1/2 \rightarrow +}^{1/2} + \gamma_{1/2 \rightarrow -}^{1/2} = \Gamma_M \left\{ 0.77 \left[2(1-x) \left(1 + \frac{3S_0}{2} \right)^2 + \right. \right. \\ &\quad \left. \left. + \frac{9^2}{2} (\langle S_z^2 \rangle - S_0^2) \right] + 1.725^2 (S^2 - \langle S_z^2 \rangle) \right\}. \end{aligned} \right\} \quad (42)$$

Поляризация π

$$\left. \begin{aligned} \Gamma_2 &= \gamma_{-1/2 \rightarrow -}^{-1/2} = \Gamma_3, \\ \Gamma_5 &= \gamma_{1/2 \rightarrow +}^{1/2} + \gamma_{1/2 \rightarrow -}^{1/2} = \Gamma_4. \end{aligned} \right\} \quad (43)$$

В выражениях (41), (42) первое слагаемое в фигурных скобках описывает вклад в ширину линии, обусловленный рассеянием экситона на случайном потенциале, создаваемом примесными ионами; второе же и третье слагаемые описывают вклад, обусловленный неупорядоченностью направлений их спинов. Относительная величина этого вклада определяется значением параметра $\beta = \Delta_h / \alpha_h$. Этот вклад может быть существенным только при условии $g\mu_B H S/T \ll 1$, т. е. при высоких температурах либо в слабых магнитных полях. При низких температурах или в сильных магнитных полях спины магнитных ионов выстраиваются вдоль поля, так что $\langle S_z^2 \rangle = S_0^2 = S^2$, и вклад флюктуаций направления спинов в величину уширения отсутствует.

Как видно из формул (41)–(43), основная функциональная зависимость ширин линий от состава и от магнитного поля имеет вид $\Gamma_M \propto x^{3/2} S_0^{3/2}$, где величина S_0 определяется формулой (8). Оценим величину Γ_M , определяющую порядок величины уширения всех линий (кроме линии (1)) для твердых растворов $Cd_{1-x}Mn_xTe$. Используем значения параметров $m_h = 0.9m_0$ [5] ¹ и $N = 1.47 \cdot 10^{22} \text{ 1/cm}^3$ [6] и положим $\alpha_h = \alpha_g = 1.5 \text{ эВ}$ [2]. Величина спинового расщепления валентной зоны $\Delta_h S_0$ в магнитном поле 19 кЭ при $T = 1.9 \text{ К}$ и $x = 0.05$, согласно данным работы [2], составляет 14 мэВ. При этом для Γ_M по формуле (38) получается значение 5 мэВ, что по порядку величины согласуется с экспериментальным значением 3 мэВ (для линии 6). Использование формулы (1), в которую в качестве трансляционной массы M следует подставлять $M = (M_\parallel M_\perp^2)^{1/2} \approx 0.26m_0$ (M_\parallel, M_\perp — массы продольного и поперечного трансляционного движения экситона [7]), дает для ширины линии 6 при $x = 0.05$ значение 0.25 мэВ на порядок меньше экспериментального.

Наиболее существенное расхождение теории с экспериментом [2] имеется для экситонной линии 1. Теоретически ее ширина получилась равной нулю, в то время как экспериментально отношение Γ_1 к ширине Γ_6 самой широкой линии оказывается не менее 1/3. Кроме того, в пределе

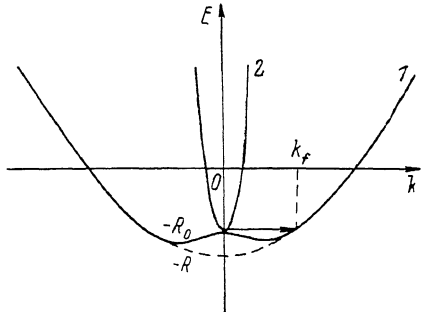


Рис. 2. Закон дисперсии экситона в полупроводнике с вырожденной валентной зоной.

Ветви 1 и 2 отвечают связанным состояниям экситона с тяжелой и легкой дыркой соответственно. Пунктиром показан закон дисперсии экситона в случае невырожденной валентной зоны. Стрелкой показан процесс ухода экситона, разрешенный законом сохранения энергии.

¹ Массы m_e и m_l для CdTe равны соответственно $m_e = 0.096 m_0$ и $m_l = 0.11 m_0$ [5], поэтому условие $m_e \ll m_l$, использованное при выводе формул (41)–(43), вообще говоря, не выполняется.

слабых магнитных полей имеем $S_0 \rightarrow 0$, так что значения ширин всех линий (41)–(43) стремятся к нулю, что также противоречит экспериментальным данным.

Дело в том, что выражения (41)–(43) были получены в пределе достаточно сильных магнитных полей. Для того чтобы установить критерий их применимости, рассмотрим случай нулевого поля. Вследствие вырождения валентной зоны закон дисперсии экситона имеет вид, представленный на рис. 2 [8] с минимумом глубиной $R(1-\tau)$, где $R = e^2/2\pi a_B$ — экситонный ридберг; $\tau = 2m_e/(m_e + 2m_l)$. Уширение экситонной линии обусловлено уходом экситона, рожденного светом в точке $k=0$, в состояния с большими квазимпульсами k , при рассеянии на флуктуациях состава. Величина уширения $\Gamma_{H=0}$, обусловленного этим механизмом, была рассчитана в [9], где было получено выражение

$$\Gamma_{H=0} = \frac{32\sqrt{2}x(1-x)m_h^{3/2}\alpha_h^2 R^{1/2}}{\pi N \hbar^3} \frac{(1-\tau)^{1/2}\tau^3}{(1+\tau)^6}. \quad (44)$$

Ясно, что применимость формул (41)–(43) ограничена условием

$$\Delta_h x S_0 > R(1-\tau), \quad (45)$$

которое означает, что величина спинового расщепления экситона должна быть больше глубины минимума в законе дисперсии в нулевом поле. Сравнивая выражения (38) и (44), легко убедиться, что это условие эквивалентно условию $\Gamma_M > \Gamma_{H=0}$. Таким образом, если магнитное поле или x не достаточно велики, так что условие (45) не выполняется, вместо формул (41)–(43) следует использовать формулу (44). Для твердого раствора $Cd_{1-x}Mn_xTe$ при $x=0.05$ формула (44) дает значение $\Gamma_{H=0}=5.6$ мэВ в разумном согласии с экспериментальным значением $\Gamma_{H=0}=2.5$ мэВ, учитывая, что для оценок мы использовали значение $\alpha_h=\alpha_e$. С ростом магнитного поля происходит перестройка экситонного спектра. С одной стороны, минимум в законе дисперсии экситона пропадает, так что для нижней ветви (линия 1) становится невозможным уход в состояния с большими квазимпульсами. С другой стороны, вследствие гигантского спинового расщепления для всех остальных линий растет плотность конечных состояний, в которые происходит рассеяние. Таким образом, линия 1 должна сужаться с ростом H , а остальные линии уширяться. Именно такое поведение ширин и наблюдалось в [2].

ПРИЛОЖЕНИЕ

Гамильтониан, описывающий движение экситона в полупроводнике с вырожденной валентной зоной, имеет вид

$$\hat{H}(\mathbf{r}_e, \mathbf{r}_h) = \frac{\hat{p}_e^2}{2m_e} + \hat{H}_L(\hat{\mathbf{p}}_h) - \frac{e^2}{z|\mathbf{r}_e - \mathbf{r}_h|}. \quad (\Pi, 1)$$

Переходя к новым переменным $\mathbf{r} = \mathbf{r}_e - \mathbf{r}_h$ и \mathbf{r}_h , перепишем (П, 1) в виде

$$\hat{H} = \hat{H}_L(\hat{\mathbf{p}}) + \frac{\hat{p}^2}{2m_e} - \frac{e^2}{zr} + \hat{H}_L(\hbar\hat{\mathbf{k}}) + \sum_{i,j} \frac{i^2 \hat{H}_L(\mathbf{p})}{\sigma p_i \partial p_j} \hat{p}_i (\hbar\hat{k}_j), \quad (\Pi, 2)$$

где $\hat{\mathbf{p}} = -i\hbar\partial/\partial\mathbf{r}$, $\hat{\mathbf{k}} = -i\partial/\partial\mathbf{r}_h$. Наиболее общий вид собственной функции гамильтониана следующий

$$\Psi(\mathbf{r}_e, \mathbf{r}_h) = e^{i\mathbf{k}\mathbf{r}_h} \varphi_{\mathbf{k}}(\mathbf{r}) |z\rangle. \quad (\Pi, 3)$$

Для покоящегося экситона ($k=0$) гамильтониан \hat{H} совпадает с гамильтонианом, описывающим водородоподобный центр в вырожденной валент-

² Глубина минимума в законе дисперсии экситона $R(1-\tau)$ составляет 3 мэВ для CdTe. Формула же (44) справедлива при условии $\Gamma_{H=0} < R(1-\tau)$, поэтому значение $\Gamma_{H=0}=5.6$ мэВ следует рассматривать как порядковую оценку.

ной зоне, в котором в качестве масс тяжелой и легкой дырок следует использовать значения $M_h = (1/m_h + 1/m_e)^{-1}$, $M_l = (1/m_l + 1/m_e)^{-1}$. Основное состояние в этом случае четырехкратно вырождено по проекции момента μ , а соответствующие волновые функции представляют собой линейные комбинации собственных функций $\chi_{z, \mu}$ оператора \hat{J}_z с коэффициентами, аналитическая зависимость которых от r неизвестна [10]. Ситуация существенно упрощается в пределе $m_e \ll m_l, m_h$. При этом в (П, 2) можно пренебречь первым слагаемым. Волновые функции основного состояния в этом пределе принимают вид (11).

При $k \neq 0$ происходит снятие вырождения и спектр распадается на две ветви (рис. 2). Аналитическое описание закона дисперсии такого экситона было получено только в пределе $k \gg 1/a_B$ [8]. Наиболее простым оно становится в адиабатическом пределе, когда $m_e \ll m_l, m_h$ и кинетическая энергия экситона $\varepsilon_k \ll R$.

Действительно, зависимость от k определяется двумя последними членами уравнения (П, 2). Причем последний член дает вклад в закон дисперсии экситона только во втором порядке теории возмущений. Этот вклад по порядку величины равен $(m_e/m_l)(\hbar^2 k^2/m_l)$ и в пределе $m_e < m_l^2/m_h$ им можно пренебречь по сравнению с $\hat{H}_L(\hbar\vec{k})$. Таким образом, трансляционное движение экситона в адиабатическом пределе хорошо описывается дырочным гамильтонианом Латтинжера. Это и приводит к уравнению (14) в отличном от нуля магнитном поле.

Мы благодарны А. Л. Эфросу за обсуждение результатов работы.

Л и т е р а т у р а

- [1] Рябченко С. М. Изв. АН СССР, сер. физ., 1982, т. 46, № 3, с. 440—445.
- [2] Рябченко С. М., Семенов Ю. Г., Терлецкий О. В. ФТТ, 1985, т. 27, № 10, с. 2901—2908.
- [3] Аблязов Н. Н., Райх М. Э., Эфрос А. Л. ФТТ, 1983, т. 25, № 2, с. 353—358.
- [4] Бир Г. Л., Пикус Г. Е. Симметрия и деформационные эффекты в полупроводниках. М.: Наука, 1972. 584 с.
- [5] Сейян Р. П. Спектроскопия диамагнитных экситонов. М.: Наука, 1984. 272 с.
- [6] Баранский П. И., Ключков В. П., Потыневич И. В. Полупроводниковая электроника. Киев: Наукова думка, 1985. 343 с.
- [7] Семенов Ю. Г. ФТП, 1985, т. 19, № 11, с. 2047—2051.
- [8] Gelmont B. L., Efros A. L. Sol. St. Commun., 1984, vol. 49, N 9, p. 883—884.
- [9] Райх М. Э., Эфрос А. Л. Письма в ЖЭТФ, 1987, т. 45, № 6, с. 301—304.
- [10] Гельмонт Б. Л., Дьяконов М. И. ФТП, 1971, т. 5, № 12, с. 2191—2195.

Физико-технический институт
им. А. Ф. Иоффе АН СССР
Ленинград

Поступило в Редакцию
25 января 1988 г.